

(578) Fe-C および Fe-C-X 合金における初析フェライトのオーステナイト
粒界への核生成速度—粒界面と粒界棱の比較—

金属技術の複本正人 IBM Walter F. Lange III

Carnegie Mellon University Hubert I. Aaronson

1. 緒言 Spherical Cap 型の臨界核モデルを用いた Cahn の理論により予測されたように、鋼における $\gamma \rightarrow \alpha$ 変態はほとんどの場合で粒界で核生成し、しかし、いわゆる粒界三重点で変態が優先的に起ることが多くの人達に経験的に知られています。本報では Lange と Aaronson により改良された粒界核生成率の測定方法を行い、粒界の面(face)と棱(edge)における核生成率をはじめ個別に測定し、定量的な解析を試みた。 α : γ 界面エネルギーは大きな異方性を有する: ことが理論、実験両面から確認されていますが、これをとり入れた pillbox 型の核モデルを用いて解析を行い、面と棱における kinetics の比較、合金元素の効果を考察する。

2. 方法 高純度 Fe-C (0.6, 1.5, 3.0% C) および Fe-0.5% C-3% X (X=Mn, Ni, Co, Si) 合金から採取した試験片 ($6 \times 6 \times 0.2$ mm³) を 1300°C で 30 分間 γ 化した後、鉛浴で種々の温度で等温保持した。Schwartz-Saltykov 法により、研磨面での粒子サイズ分布を測定した。

3. 結果 粒子数を変態時間に対して plot (図 1, 2), その傾きから J_s^* (Steady State Nucleation Rate) を求めた。古典理論により pillbox nucleus に対して粒界面上の核生成率の時間依存性の部分は、

$$J_s^* = N \frac{2DX_r V_a \varepsilon^{1/2}}{\alpha^4 (3kT)^{1/2}} \exp\left(-\frac{4\pi(\sigma_{\alpha\gamma}^e)\varepsilon}{\Phi^2 kT}\right) \quad (\text{Lange \& Aaronson})$$

$$\text{棱上では, } J_s^* = N \frac{2DX_r V_a (\sigma_{\alpha\gamma}^e)^{1/2}}{\alpha^4 (\pi kT / 2\sqrt{3})^{1/2}} \exp\left(-\frac{8\varepsilon^2 \sigma_{\alpha\gamma}^e}{\sqrt{3} \Phi^2 kT}\right)$$

と書ける。(N=核生成サイトの密度, α =格子定数, $\sigma_{\alpha\gamma}^e = \alpha$: γ 界面エネルギー, ε =生成した界面と消滅した粒界のエネルギー差, Φ =弾性歪エネルギーも含めた自由エネルギー変化) 単位体積あたりの核生成率を、

$$M(\text{face or edge}) = J_s^*(\text{face or edge}) \cdot R \quad (\text{Cahn})$$

により計算し、両サイトにおける kinetics を比較した(図 3. R=単位体積あたりの粒界面積, あるいは粒界棱の長さ)

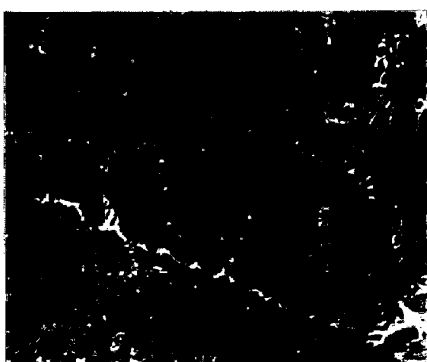


Photo 1 An SEM micrograph of ferrite allotriomorphs formed at austenite grain boundary edges and faces in an Fe-1.8A/o-1A/oCo alloy.

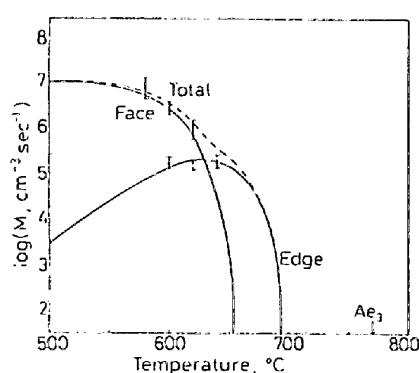


Fig. 3 Plots of nucleation rates per unit volume as a function of temperature for the same alloy.

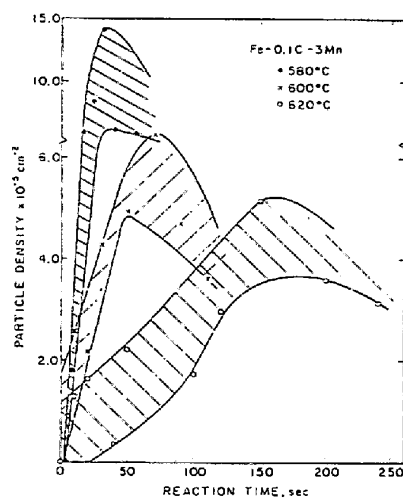


Fig. 1 Particle number per unit unreacted grain boundary area vs. reaction time plot for an Fe-0.5A/oMn alloy.

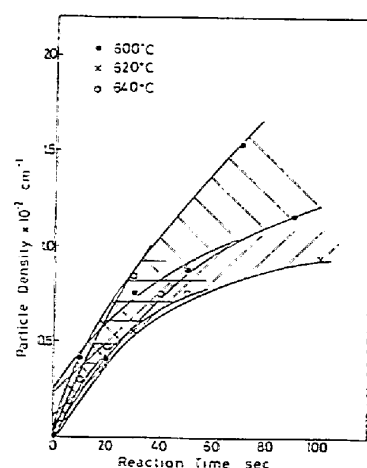


Fig. 2 Particle number per unit length of grain edge vs. reaction time plot for the same alloy.